

本文引用:邓哲,欧阳昭广,胡玉星,冯婷,陈铮甲,宁迪敏,张博宇,雷宜晨,刘华,田雪飞.薯蓣丸调控 HIF-1 $\alpha$  与 p53 表达改善线粒体损伤治疗肝细胞癌的实验研究[J].湖南中医药大学学报,2021,41(7):1010-1016.

## 薯蓣丸调控 HIF-1 $\alpha$ 与 p53 表达改善线粒体损伤 治疗肝细胞癌的实验研究

邓哲<sup>1,2</sup>, 欧阳昭广<sup>3</sup>, 胡玉星<sup>4</sup>, 冯婷<sup>1</sup>, 陈铮甲<sup>4</sup>, 宁迪敏<sup>1</sup>, 张博宇<sup>5</sup>, 雷宜晨<sup>1</sup>, 刘华<sup>4</sup>, 田雪飞<sup>1,2\*</sup>

(1.湖南中医药大学中西医结合学院,湖南长沙 410208;3.广州医科大学附属口腔医院口腔预防科,广东广州 510182;  
2.湖南中医药大学方证转化湖南省重点实验室,湖南长沙 410208;4.湖南中医药大学第一附属医院,湖南长沙 410208;  
5.湖南中医药大学针灸推拿学院,湖南长沙 410208)

**[摘要]** 目的 观察薯蓣丸对肿瘤微环境中 HIF-1 $\alpha$  与 p53 的表达以及线粒体损伤的影响,及其对肝细胞癌的治疗作用。方法 制备人肝癌裸鼠皮下移植瘤模型,雄性 BALB/c 裸鼠( $n=24$ , 5 周龄),随机分为 4 组,每组 6 只:模型组(0.9%生理盐水 0.2 mL/d)、薯蓣丸组(薯蓣丸 0.4 g/d)、薯蓣丸+顺铂组(薯蓣丸 0.4 g/d+每周腹腔注射顺铂 5 mg/kg)、顺铂组(每周腹腔注射顺铂 5 mg/kg)。每只裸鼠灌胃剂量为 0.2 mL/d,每 2 天测量 1 次肿瘤体积与小鼠体质量,连续干预 14 d 后脱颈处死,剥离皮下移植瘤;电镜下观察肿瘤组织线粒体结构和数量;Western blot 与 RT-qPCR 法分别检测人肝癌裸鼠皮下移植瘤中 HIF-1 $\alpha$ 、p53 的蛋白及 mRNA 表达。结果 与模型组相比,薯蓣丸组可抑制人肝癌裸鼠皮下移植瘤的生长,抑制 HIF-1 $\alpha$  的 mRNA 与蛋白表达( $P<0.05$ ),上调抑癌基因 p53 的 mRNA 与蛋白表达( $P<0.05$ ),同时改善线粒体结构损伤;与薯蓣丸组或顺铂组相比,薯蓣丸联合顺铂组对 HIF-1 $\alpha$ 、p53 基因表达及改善线粒体结构作用更显著( $P<0.05$ )。结论 薯蓣丸可通过促使 HIF-1 $\alpha$  的失活与 p53 的活化,改善线粒体结构损伤,从而抑制人肝癌裸鼠皮下移植瘤的生长,与顺铂联用后具有协同增效作用。

**[关键词]** 肝癌;肿瘤微环境;薯蓣丸;线粒体损伤;HIF- $\alpha$ ;p53

**[中图分类号]** R285.5

**[文献标志码]** A

**[文章编号]** doi:10.3969/j.issn.1674-070X.2021.07.007

### Shuyu Pills Improves Mitochondrial Damage by Regulating the Expression of HIF-1 $\alpha$ and p53 to Prevent Hepatocellular Carcinoma

DENG Zhe<sup>1,2</sup>, OUYANG Zhaoguang<sup>3</sup>, HU Yuxing<sup>4</sup>, FENG Ting<sup>1</sup>, CHEN Zhengjia<sup>4</sup>, NING Dimin<sup>1</sup>,  
ZHANG Boyu<sup>5</sup>, LEI Yichen<sup>1</sup>, LIU Hua<sup>4</sup>, TIAN Xuefei<sup>1,2\*</sup>

(1. College of Integrated Chinese and Western Medicine, Hunan University of Chinese Medicine, Changsha, Hunan 410208, China; 2. Hunan Key Laboratory of Translational Research in Formulas and Zheng of Traditional Chinese Medicine, Hunan University of Chinese Medicine, Changsha, Hunan 410208, China; 3. Department of Preventive Dentistry, Stomatological Hospital Affiliated to Guangzhou Medical University, Guangzhou, Guangdong 510182, China; 4. The First Affiliated Hospital of Hunan University of Chinese Medicine, Changsha, Hunan 410208, China; 5. Department of Acupuncture and Massage, Hunan University of Chinese Medicine, Changsha, Hunan 410208, China)

**[收稿日期]** 2021-03-28

**[基金项目]** 区域创新联合国家自然科学基金重点项目(U20A20408);国家自然科学基金项目(82074450);湖南省自然科学基金项目(2020JJ4066);中西医结合一流学科开放基金项目(2020ZXJH35,2018ZXJH28);湖南中医药大学“一方”研究生创新课题(YF201903);湖南省科技创新人才计划大学生创新创业资助项目(肿瘤外治古膏方系列产品研发与推广运用);2018年度湖南省大学生创新创业训练计划项目(大黄抗蜈蚣所致肝损伤的“给邪出路”作用及机制研究)。

**[作者简介]** 邓哲,女,在读博士研究生,研究方向:中西医结合防治肿瘤。

**[通信作者]** \*田雪飞,男,教授,博士研究生导师,E-mail:003640@hnuem.edu.cn。

**[Abstract] Objective** To evaluate the effect of Shuyu Pills on the expression of HIF-1 $\alpha$  and p53 in tumor microenvironment and mitochondrial damage, and therapeutic effect on treating hepatocellular carcinoma (HCC). **Methods** The subcutaneously transplanted tumor model of human hepatocellular carcinoma in nude mice was prepared. Male BALB/c nude mice ( $n=24$ , 5 weeks old) were randomly divided into 4 groups with 6 mice in each group: model group (administered normal saline, 0.2 mL/d), SYP group (0.4 g/d Shuyu Pills), SYP+DDP group (0.4 g/d Shuyu Pills + weekly intraperitoneal dose of 5 mg/kg cisplatin), DDP group (weekly intraperitoneal dose of 5 mg/kg cisplatin). Each mouse was taken 0.2 mL drug via gavage every day. The tumor volume and body weight of mouse were measured every 2 days. After continuous intervention for 14 days, all the mice were sacrificed by neck removal and subcutaneous graft tumor was removed; the structure and quantity of mitochondria in tumor tissues were observed by electron microscopy; the protein and mRNA expression levels of HIF-1 $\alpha$  and p53 of tumor were detected by Western blot and RT-qPCR. **Results** Compared with model group, SYP group inhibited the growth of subcutaneous transplanted tumor of HCC in nude mice, inhibited the mRNA and protein expression of HIF-1 $\alpha$  ( $P<0.05$ ), upregulated the mRNA and protein expression of tumor suppressor gene p53 ( $P<0.05$ ), and improved the mitochondrial structure damage; compared with SYP group or DDP group, SYP+DDP group improved the expression of HIF-1 $\alpha$  and p53 genes and mitochondrial structure significantly ( $P<0.05$ ). **Conclusion** Shuyu Pills could inhibit the growth of subcutaneously transplanted human HCC in nude mice, which might inactivate HIF-1 $\alpha$  and activate p53, to improve mitochondrial structural damage, combined with cisplatin, Shuyu Pills has synergistic effect.

**[Keywords]** hepatocellular carcinoma; tumor microenvironment; Shuyu Pills; mitochondrial damage; HIF-1 $\alpha$ ; p53

肝细胞癌(hepatocarcinoma, HCC)是临床常见的恶性肿瘤之一,其发病率、死亡率分别位居全球恶性肿瘤第6位与第4位<sup>[1]</sup>。缺氧是实体瘤中的常见现象,可诱导肿瘤能量代谢重编程<sup>[2]</sup>。代谢异常是肿瘤的重要特征,正常细胞在氧气充足的情况下利用线粒体的氧化磷酸化产生ATP,为细胞的生命活动提供能量,而在氧气不足的情况下则转变为利用糖酵解的方式。在多数肿瘤中,无论处于有氧还是缺氧环境,都要保证一定程度的糖酵解反应作为产能方式,这被称为有氧糖酵解过程,即Warburg效应,也是肿瘤细胞独有的代谢特征之一<sup>[3]</sup>。肿瘤细胞糖酵解过程不仅为肿瘤细胞提供维持生长的能量,其合成的乳酸、核苷酸等一系列产物还为肿瘤细胞增殖、转移过程提供了必需的内源性生物原料<sup>[4]</sup>。也有研究<sup>[5]</sup>认为是因为肿瘤细胞中线粒体含量减少了20%~50%的原因导致OXPHOS的降低,这一理论进一步扩展支持了Warburg的假说。线粒体的代谢受一系列基因的调控,肿瘤发生的早期处于缺氧微环境,使得HIF-1、p53、NF- $\kappa$ B等基因的表达变化,导致线粒体的氧化磷酸化受到抑制,细胞主要以糖酵解的形式获得能量<sup>[6-7]</sup>。肝脏作为一个高度再生的器官,肝细胞中包含大量的线粒体以供能,线粒体代谢重编程在肝癌发生发展中起重要作用,肝脏线粒体代谢异常是公认的致癌因素之一<sup>[8]</sup>。因此,抑制肿瘤缺氧相关基因的表达,改善线粒体的损伤,有助于抑制肿瘤细胞的有氧糖酵解,恢复线粒体的氧化磷酸化功能,抑制肿瘤的进展。

低氧诱导因子-1(hypoxia inducible factor-1, HIF-1 $\alpha$ )是HCC细胞适应低氧微环境的重要调节因子,影响HCC细胞的生长繁殖、侵袭转移、血管新生、耐药、凋亡等过程<sup>[9-10]</sup>。研究<sup>[2]</sup>发现,HIF-1 $\alpha$ 的表达可降低线粒体的合成,从而导致细胞氧耗的减少。另外,抑癌基因p53的突变、表达下调或缺失,也可作用于线粒体代谢,使线粒体呼吸转变为糖酵解模式<sup>[11]</sup>。因此,抑制HIF-1 $\alpha$ 的表达与p53的失活,有望改善肝癌细胞线粒体代谢重编程,抑制糖酵解的发生。研究<sup>[12]</sup>发现,脾虚模型大鼠中多器官的线粒体含量明显减少,形状异常,结构紊乱,基质改变。通过改善脾虚进而改善线粒体在脏器中的合成与代谢,有望从改善代谢方式的角度控制肿瘤的进展。而线粒体生物合成、能量代谢功能的正常发挥与中医“脾为后天之本”的功能密切相关<sup>[12-13]</sup>,薯蓣丸出自东汉张仲景《金匮要略·血痹虚劳病》:“虚劳诸不足,风气百疾,薯蓣丸主之”,功用健脾益气 and 营,因脾气亏虚导致的虚劳百疾皆可用之。现代研究<sup>[14-15]</sup>表明,薯蓣丸具有改善能量代谢与免疫功能、辅助治疗肿瘤等多个方面的作用。为了探究薯蓣丸是否通过保护线粒体发挥调控HCC细胞能量代谢的作用,我们将薯蓣丸与顺铂联合运用,通过研究薯蓣丸对代谢相关基因HIF-1 $\alpha$ 与p53的调控,以及线粒体损伤的影响,观察其对HCC的辅助治疗作用。

## 1 材料与方法

### 1.1 主要试剂

胰蛋白酶(北京索莱宝科技有限公司,货号:

T1320);高糖 DMEM 培养基(美国 Hyclone 公司,货号:AE29005267);胎牛血清(美国 Gibco 公司,货号:2176404);水合氯醛(货号:20180622)、无水乙醇(货号:GB/T678-2002)(上海国药集团化学试剂有限公司);青霉素(货号:408G021)、链霉素(货号:70100900)(北京索莱宝科技有限公司);环氧丙烷(上海迈瑞尔化学技术有限公司,货号:M25514);饿酸(货号:18456)、DDSA(货号:18022)、NMA(货号:18032)、DMP30(货号:18042)(美国 TED PELLA INC 公司);戊二醛(北京雷根生物技术有限公司,货号:DF0156);HIF-1 $\alpha$  小鼠抗人单克隆抗体(货号:ab1)、p53 小鼠抗人单克隆抗体(英国 Abcam 公司,货号:ab26); $\beta$ -actin 小鼠抗人单克隆抗体(美国 proteintech 公司,货号:66009-1-Ig);HRP 标记山羊抗小鼠 IgG 抗体(美国 proteintech 公司,货号:SA00001-1);RIPA 裂解液(中国上海碧云天有限公司,货号:P0013B);SuperECL Plus 超敏发光液(美国 Advansta 公司,货号:K-12045-D50);显影液(货号:BW-61)、定影液(货号:BW-62)(中国上海佳信公司);TEMED(中国上海阿拉丁公司,货号:T105497);SDS(货号:MB2479)、EDTA(中国大连美伦生物技术有限公司,货号:MB2514);琼脂糖(西班牙 BIOWEST 公司,货号:111860);mRNA 逆转录试剂盒(货号:CW2569)、miRNA 逆转录试剂盒(货号:CW2141)、上样缓冲液(货号:CW0610)、UltraSYBR Mixture(货号:CW2601)、DM2000 Plus DNA Marker(货号:CW0632)(中国北京康为世纪公司);Tris(货号:V900483)、DEPC(美国 Sigma 公司,货号:D5758);Trizol(美国 Thermo 公司,货号:15596026);核酸染料(中国北京普利莱,货号:PB11141)。

## 1.2 药物

薯蓣丸使用中药配方颗粒,药物组成及生产批号:山药(0090443)24 g,当归(0103203) 6 g,桂枝(0116553) 6 g,建曲(0091033) 6 g,生地黄(0113523) 12 g,人参(0115203) 6 g,炙甘草(0112233) 12 g,川芎(0125883) 6 g,白芍(0121933) 6 g,白术(0111433) 6 g,麦冬(0121693) 6 g,苦杏仁(0112663) 6 g,柴胡(0110723) 6 g,桔梗(0101183) 3 g,茯苓(0110753) 6 g,阿胶(0112143) 6 g,干姜(0115493) 3 g,防风(0101983) 6 g,白藜(0086073) 6 g,大枣(0111143) 24 g,所有药物购自广东一方制药有限责任公司。将药物用温水溶解后,振荡制备成混悬液。根据薯蓣丸的药理学剂量规定,成人薯蓣丸日剂量为156 g/d,小鼠体质量约为 20 g,根据人鼠体表面积换算,小

鼠给药剂量为 0.4 g/d。顺铂注射液(DDP)(齐鲁制药有限公司,货号 9E0214B02):5 mg/kg,每周 1 次,腹腔注射。

## 1.3 细胞与动物分组

采用 HCC 细胞株 SMMC-7721,购自中南大学湘雅医学院细胞中心。BALB/c 无胸腺裸鼠(雄性,5 周龄),购自上海斯莱克实验动物有限公司(生产许可证号:SCXK(沪)2017-0005),所有动物饲养在无特定病原体(specific pathogen free, SPF)级环境中,可自由地获取食物和水,并进行 12 h/12h 的明/暗循环。将  $1 \times 10^7$  个 SMMC-7721 细胞接种于每只裸鼠右上肢后侧,建立人 HCC 裸鼠皮下移植瘤模型。实验从可触及裸鼠皮下移植瘤开始(肿瘤体积约为 100 mm<sup>3</sup>),造模成功后,随机分为 4 组,每组 6 只,分别为:模型组(0.9%生理盐水 0.2 mL/d)、薯蓣丸组(薯蓣丸 0.4 g/d)、薯蓣丸+顺铂组(薯蓣丸 0.4 g/d+每周腹腔注射顺铂 5 mg/kg)、顺铂组(每周腹腔注射顺铂 5 mg/kg)。每只裸鼠灌胃剂量为 0.2 mL/d。

## 1.4 观察指标

1.4.1 肿瘤体积测定 每 2 天测量 1 次肿瘤体积,肿瘤体积计算公式为:(最大肿瘤长度 $\times$ 宽度<sup>2</sup>)/2<sup>[6]</sup>。连续干预 14 d 后,根据《实验动物:福利伦理审查指南》<sup>[7]</sup>对小鼠进行颈椎脱位安乐死,剥离皮下移植瘤并进行检测。所有实验动物均得到悉心照料,本实验通过中南大学实验动物福利伦理审查委员会批准。

1.4.2 透射电子显微镜成像 为了检测线粒体的超微结构变化,在用薯蓣丸或顺铂处理 14 d 后,收集人 HCC 裸鼠皮下移植瘤组织用于样品制备。实验步骤:(1)固定:取 1 cm<sup>3</sup> 组织块若干块,在 4  $^{\circ}$ C 下用 2.5%戊二醛在黑暗中进行 12 h 的初次固定,然后将组织在 1%饿酸中固定 1 h。(2)脱水:在分级乙醇系列(30%、50%、70%、80%、95%和 100%)和环氧丙烷中进行脱水。(3)浸透:在环氧丙烷和环氧树脂中浸泡 2 h,然后纯环氧树脂中浸泡 3 h。(4)包埋:用纯环氧树脂包埋后入 40  $^{\circ}$ C 烤箱烘烤 12 h 和 60  $^{\circ}$ C 烤箱烘烤 48 h。(5)切片:使用徕卡 Ultracut UCT 切片机以 80 nm 切片厚度用金刚石刀具切割超薄切片,将切片置于 300 目铜网上。(6)染色:电子染色(铅、铀染色)。(7)拍照:日立 7700 型透射电镜观察,用数码相机记录图像。

1.4.3 Western blot 检测蛋白表达水平 采用 Western blot 方法检测人 HCC 裸鼠皮下移植瘤中 HIF-1 $\alpha$  与 p53 的蛋白表达。实验步骤:(1)蛋白提

取:剪取 25 mg 组织,用冰预冷 PBS 洗涤组织,加入 300  $\mu$ L RIPA 裂解液以裂解 10 min;离心后将上清液转移入离心管。(2)制胶:在 10%分离胶中加入 TEMED 后立即摇匀灌胶,异丙醇封胶。胶凝后倒去胶上层异丙醇并用滤纸将其吸干。在 4.8%浓缩胶中加入 TEMED 后摇匀灌胶。将梳子插入玻璃板中,剩余空间灌满浓缩胶,等待胶凝固。(3)样品准备:在 200  $\mu$ L 蛋白上清中加入 50  $\mu$ L 5 $\times$ loading buffer 混匀,沸水煮 5 min,冰盒速冷备用。(4)电泳:据蛋白定量结果,第一孔点入 marker 2  $\mu$ L,其他每孔上样 50  $\mu$ g 已变性蛋白。开始电泳,电泳恒定电压 75 V,时间为 130 min。待溴酚蓝电泳至胶底部,终止电泳。(5)转膜:分别切胶 PD-1(50-55 kDa)、PD-L1(33 kDa)、CD4(55 kDa)、CD8(35 kDa)、HIF-1 $\alpha$ (120 kDa)、p53(53 kDa)、 $\beta$ -actin(42 kDa)。(6)封闭:用 1 $\times$ PBST 配制 5%脱脂奶粉,将膜浸入后室温静置 60 min,在 4  $^{\circ}$ C 下过夜后室温静置 30 min。(7)一抗孵育:加入一抗 Mouse anti-HIF-1 $\alpha$  antibody(ab1),1:200;Mouse anti-HIF-1 $\alpha$  antibody (ab26),1:500;Mouse anti- $\beta$ -actin antibody(66009-1-Ig),1:5 000,室温放置 90 min。孵育结束后用 1 $\times$ PBST 洗 3 次,每次 15 min。(8)二抗孵育:加入二抗(HRP goat anti-mouse IgG, SA00001-1,1:5 000;HRP goat anti-rabbit IgG, SA00001-2,1:6 000),室温孵育 90 min 后,1 $\times$ PBST 洗 3 次,每次 10 min。(9)ECL 显色曝光:使用 ECL 化学发光液与膜孵育 1 min,用滤纸吸尽液体,用塑封膜将膜包裹交膜,在暗盒内与 X 胶片曝光后显影冲洗。

1.4.4 RT-qPCR 检测蛋白表达水平 采用 RT-qPCR 法检测人 HCC 裸鼠皮下移植瘤中 HIF-1 $\alpha$  与 p53 的 mRNA 表达。按照说明书使用 TRIzol 试剂从

SMMC7721 细胞中提取总 RNA。然后以总 mRNA 为模板,用 cDNA 逆转录酶进行逆转录。定量 PCR 扩增程序:95  $^{\circ}$ C 3 min,95  $^{\circ}$ C 30 s,60  $^{\circ}$ C 20 s,40 个循环,熔解曲线分析:60~95  $^{\circ}$ C。引物设计:在 NCBI 上搜索目的基因的序列,运用 Primer 5 软件设计引物,由上海生工合成引物。使用的引物如下: $\beta$ -actin:F-ACATCCGTAAAGACCTCTATGCC 和 R-TACTCCTGCTTGCTGATCCAC,基因产物 223 bp;P53:F-CCCCTGTCATCTTTTGTCCCT 和 R-AGCTGGCAGAATAGCTTATTGAG,基因产物 137 bp;HIF-1 $\alpha$ :F-TCCAGCAGACCCAGTTACAGA 和 R-GCCACTGTATGCTGATGCCTT, F-GCACCCCAAGGCAAAAA TCG,基因产物 182 bp。

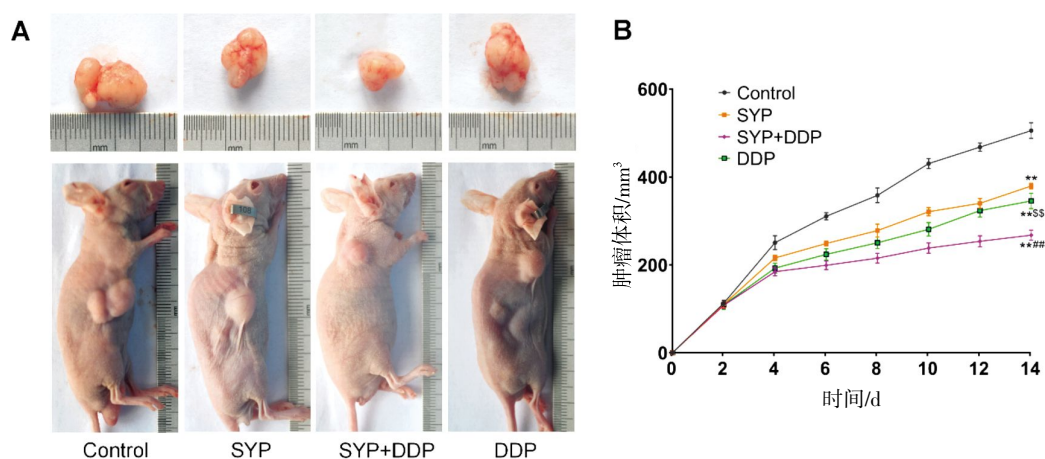
## 1.5 统计学分析

使用统计学软件 SPSS 25.0 分析数据,所有实验样本均重复 3 次,计量资料以“ $\bar{x}\pm s$ ”表示。用 *t* 检验进行两组间数据比较,多组比较采用单因素方差分析,多组间数据比较采用 LSD 方法检验判定统计学差异,以  $P<0.05$  表示差异具有统计学意义。

## 2 结果

### 2.1 薯蓣丸对人 HCC 裸鼠皮下移植瘤生长的影响

体外肿瘤生长图显示,与模型组相比,薯蓣丸组、薯蓣丸联合顺铂组的瘤体皆有缩小。与模型组相比,薯蓣丸组、薯蓣丸联合顺铂组、顺铂组肿瘤体积缩小,差异具有统计学意义( $P<0.05$ );与薯蓣丸组或顺铂组相比,薯蓣丸联合顺铂组对肿瘤体积的抑制作用增强,差异具有统计学意义( $P<0.05$ )。见图 1。



注:Control:模型组,SYP:薯蓣丸组,SYP+DDP:薯蓣丸联合顺铂组,DDP:顺铂组。与模型组比较,\* $P<0.05$ ,\*\* $P<0.01$ ;与薯蓣丸组比较,<sup>#</sup> $P<0.05$ ,<sup>##</sup> $P<0.01$ ;与薯蓣丸联合化疗组比较,<sup>§</sup> $P<0.05$ ,<sup>§§</sup> $P<0.01$

图 1 各组人 HCC 裸鼠皮下移植瘤与体积增长曲线图

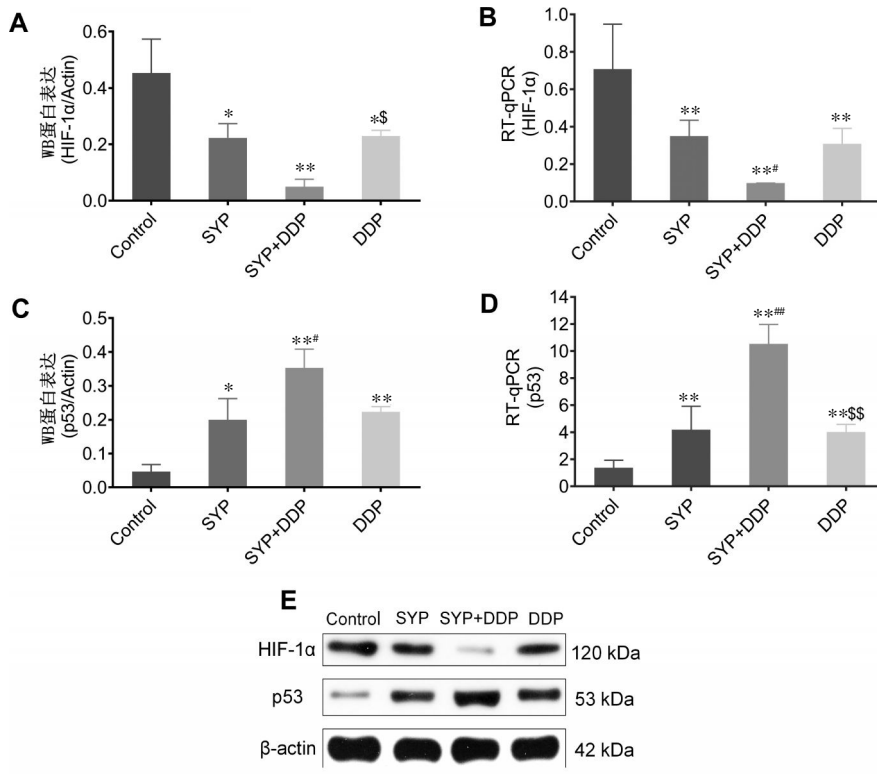
### 2.2 薯蓣丸对 HIF-1 $\alpha$ 、p53 基因蛋白及 mRNA 表达的影响

HIF-1 $\alpha$  基因的蛋白表达结果显示,与模型组相比,薯蓣丸组、顺铂组中癌基因 HIF-1 $\alpha$  的蛋白表达下降,差异具有统计学意义( $P<0.05$ ),且薯蓣丸联合顺铂组差异更加显著( $P<0.01$ )。HIF-1 $\alpha$  基因的 mRNA 荧光定量表达结果显示,与模型组相比,薯蓣丸组、薯蓣丸联合顺铂组、顺铂组中的 HIF-1 $\alpha$  的 mRNA 表达下降,差异具有统计学意义( $P<0.01$ );与薯蓣丸组相比,薯蓣丸联合顺铂组差异具有统计学意义( $P<0.05$ )。p53 基因的蛋白表达结果显示,与模型组相比,薯蓣丸组中 p53 的蛋白表达上调,差异具有统计学意义( $P<0.05$ ),且薯蓣丸联合顺铂组、顺铂组差异更加显著( $P<0.01$ );与薯蓣丸组和顺铂组相比,薯蓣丸联合顺铂组差异具有统计学意义( $P<0.05$ )。

p53 基因的 mRNA 荧光定量表达结果显示,与模型组相比,薯蓣丸组、薯蓣丸联合顺铂组、顺铂组中 p53 的 mRNA 荧光定量表达上调,差异具有统计学意义( $P<0.01$ );与薯蓣丸组和顺铂组相比,薯蓣丸联合顺铂组差异具有统计学意义( $P<0.01$ )。见图 2。

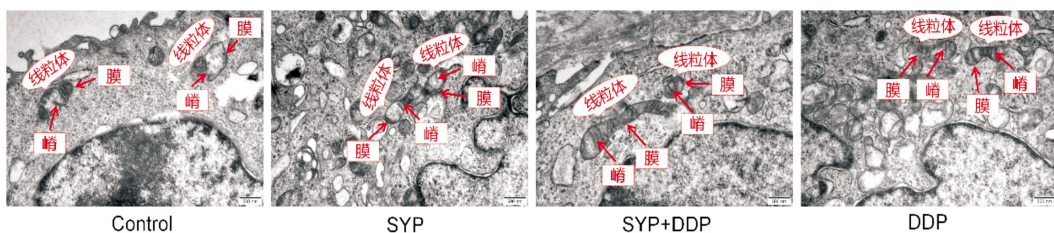
### 2.3 线粒体结构观察

电镜下人 HCC 裸鼠皮下移植瘤中线粒体结构显示,模型组线粒体数量较少,线粒体变性,嵴状结构排列紊乱且大多已断裂,可见线粒体固缩,膜结构完整;薯蓣丸组线粒体数量多,线粒体嵴状结构部分损伤,但可见排列结构,部分线粒体固缩,膜结构完整;薯蓣丸联合顺铂组线粒体数量较多,线粒体嵴状结构排列整齐,结构清晰,线粒体未固缩,膜结构完整;顺铂组线粒体数量多,线粒体嵴状结构部分损伤,但可见排列结构,部分线粒体固缩,膜结构部分损伤。见图 3。



注:Control:模型组,SYP:薯蓣丸组,SYP+DDP:薯蓣丸联合顺铂组,DDP:顺铂组。与模型组比较,\* $P<0.05$ ,\*\* $P<0.01$ ;与薯蓣丸组比较,<sup>#</sup> $P<0.05$ ,<sup>##</sup> $P<0.01$ ;与薯蓣丸联合化疗组比较,<sup>\$</sup> $P<0.05$ ,<sup>\$\$</sup> $P<0.01$

图 2 各组人 HCC 裸鼠皮下移植瘤 HIF-1 $\alpha$ 、p53 蛋白与 mRNA 的表达



注:Control:模型组,SYP:薯蓣丸组,SYP+DDP:薯蓣丸联合顺铂组,DDP:顺铂组

图 3 各组对人 HCC 裸鼠皮下移植瘤线粒体结构的影响( $\times 30\ 000$ )

### 3 讨论

中医认为肝癌的病机为本虚标实,本虚因长期癌毒内耗,加之手术、放化疗等损伤性治疗,易导致机体气血虚衰,脏腑功能衰退,全身代谢功能紊乱,免疫功能低下。治疗上,中医以“攻补兼施、扶正祛邪”为主要原则<sup>[18]</sup>。薯蓣丸治疗“虚劳诸不足,风气百疾”,根据脾为后天之本的思想,针对肝癌本虚标实的特点,可以将健脾扶正法作为肝癌辅助治疗的切入点<sup>[19]</sup>。现代研究<sup>[20-21]</sup>也表明,薯蓣丸及方内组分具有抗氧化、改善机体能量代谢、增强免疫、辅助抗肿瘤等多方面的作用。

缺氧是实体瘤的重要生物学特征,肿瘤微环境缺氧可诱导线粒体代谢从氧化磷酸化转变成糖酵解模式,这是肿瘤细胞线粒体代谢重编程的重要表现形式<sup>[22]</sup>。研究<sup>[8]</sup>显示,线粒体的损伤与含量减少是导致氧化磷酸化转向糖酵解模式的原因,而肝脏线粒体代谢异常是重要的致癌因素。肿瘤微环境的低氧可诱导线粒体酶的表达发生改变,导致线粒体代谢异常,其机制可能与 HIF-1 $\alpha$  或 p53 基因的作用有关<sup>[23]</sup>。研究<sup>[24]</sup>显示,缺氧可通过过表达或稳定 HIF-1 来促进 HCC 进展和侵袭。HIF-1 $\alpha$  的表达可降低线粒体的合成,从而导致细胞氧耗的减少<sup>[5]</sup>。研究<sup>[25-26]</sup>发现 HIF-1 $\alpha$  在 HCC 组织中高表达,通过不断激活与 HCC 生长相关的多种靶基因,参与 HCC 的微血管新生、能量代谢、增殖、侵袭转移、凋亡等过程,可促进 HCC 的发生发展,而抑制 HIF-1 $\alpha$  表达有利于控制 HCC 细胞侵袭和转移能力。另外,抑癌基因 p53 可活化 PFK-2 的亚型-TP53 诱导糖酵解和凋亡调节因子(TIGAR),TIGAR 降低了果糖-2,6-磷酸的表达水平,从而起到抑制糖酵解的作用<sup>[5]</sup>。但在肿瘤细胞中,p53 基因常出现突变、表达下调或缺失,p53 的失活可使代谢从氧化磷酸化转变到糖酵解模式<sup>[27-28]</sup>。因此,癌基因 HIF-1 $\alpha$  的活化与抑癌基因 p53 的失活,可诱导肿瘤微环境的缺氧,导致能量代谢从氧化磷酸化向糖酵解的转变,从而促进 HCC 的发生发展,其机制可能与线粒体的合成受损相关,靶向调控 HIF-1 $\alpha$  与 p53 有助于改善线粒体损伤,控制肿瘤的进展。

本实验研究结果表明,薯蓣丸具有抑制人 HCC 裸鼠皮下移植瘤生长的作用,而薯蓣丸与顺铂联合

运用以后,其抑瘤作用更为显著。为了进一步明确其作用机制,本研究检测了人 HCC 裸鼠皮下移植瘤中 HIF-1 $\alpha$  与抑癌基因 p53 的表达,同时,在电镜下观察了各组皮下移植瘤中线粒体的结构。结果表明,薯蓣丸具有抑制缺氧诱导因子 HIF-1 $\alpha$  与活化抑癌基因 p53 表达的作用,同时改善了线粒体的结构破坏,薯蓣丸与顺铂两者联用具有协同作用。因此,猜测薯蓣丸可能通过促使 HIF-1 $\alpha$  失活与抑癌基因 p53 活化的作用,进一步保护线粒体结构,改善肿瘤微环境的能量代谢,从而发挥抗 HCC 的作用。此外,研究结果发现薯蓣丸与顺铂联用以后具有协同增效作用,有报道显示,缺氧微环境促进肿瘤对放化疗抵抗和耐药<sup>[17]</sup>。另一方面,研究<sup>[29]</sup>显示线粒体参与顺铂的耐药性,改善线粒体功能可增强顺铂对肿瘤化疗的敏感性。并且,调控 HIF-1 $\alpha$  与 p53 的表达,有助于控制肿瘤细胞的顺铂耐药<sup>[30]</sup>。因此,薯蓣丸可能通过调控 HIF-1 $\alpha$  与 p53 改善了肿瘤微环境的缺氧,并且通过改善线粒体的功能,增强了 HCC 细胞对顺铂的敏感性,从而发挥了协同增效的作用,这为我们今后进一步对 HCC 的化疗增敏作用研究提供启发。

### 参考文献

- [1] DASGUPTA P, HENSHAW C, YOULDEN D R, et al. Global trends in incidence rates of primary adult liver cancers: A systematic review and meta-analysis[J]. *Frontiers in Oncology*, 2020, 10: 171.
- [2] VAUPEL P, SCHMIDBERGER H, MAYER A. The Warburg effect: Essential part of metabolic reprogramming and central contributor to cancer progression[J]. *International Journal of Radiation Biology*, 2019, 95(7): 912-919.
- [3] KOPPENOL W H, BOUNDS P L, DANG C V. Otto Warburg's contributions to current concepts of cancer metabolism[J]. *Nature Reviews Cancer*, 2011, 11(5): 325-337.
- [4] LIBERTI M V, LOCASALE J W. The Warburg effect: How does it benefit cancer cells? [J]. *Trends in Biochemical Sciences*, 2016, 41(3): 211-218.
- [5] 宋奎,许晓军.肿瘤细胞的糖酵解能量代谢机制[J].*中国肿瘤临床*.2012,39(16):1239-1242.
- [6] MORENO-SÁNCHEZ R, RODRÍGUEZ-ENRÍQUEZ S, SAAVEDRA E, et al. The bioenergetics of cancer: Is glycolysis the main ATP supplier in all tumor cells? [J]. *BioFactors*, 2009, 35 (2): 209-225.
- [7] BALAMURUGAN K. HIF-1 at the crossroads of hypoxia, inflammation, and cancer[J]. *International Journal of Cancer*, 2016,

- 138(5): 1058–1066.
- [8] JIN T Q, WANG C, TIAN Y, et al. Mitochondrial metabolic reprogramming: An important player in liver cancer progression[J]. *Cancer Letters*, 2020, 470: 197–203.
- [9] YAO D F, JIANG H, YAO M, et al. Quantitative analysis of hepatic hypoxia-inducible factor-1 $\alpha$  and its abnormal gene expression during the formation of hepatocellular carcinoma[J]. *Hepatobiliary & Pancreatic Diseases International: HBPD INT*, 2009, 8(4): 407–413.
- [10] 孙建英,陈禧钰,王理,等.缺氧诱导因子-1 $\alpha$ 介导和调控肝癌相关血管生成因子的表达[J]. *中华肝脏病杂志*, 2020, 28(11): 942–948.
- [11] PUZIO-KUTER A M. The role of p53 in metabolic regulation[J]. *Genes & Cancer*, 2011, 2(4): 385–391.
- [12] 刘友章,王昌俊,周俊亮,等.长期脾虚模型大鼠细胞线粒体的研究[J]. *中医药学刊*, 2006, 24(3): 391–394.
- [13] 胡齐,宋雅芳,孙莹,等.中医“脾主肌肉”与线粒体生物合成中能量代谢的相关性探讨[J]. *时珍国医国药*, 2014, 25(4): 1018–1020.
- [14] 欧阳钦,吴春明.薯蓣丸不同组分提取物对人肝癌 HepG2 细胞增殖和凋亡的影响[J]. *浙江中医杂志*, 2015, 50(3): 176–178.
- [15] 劳春梅,湛健,朱政,等.薯蓣丸加减方联合放疗治疗鼻咽癌效果及对 VEGF、免疫功能的影响[J]. *现代中西医结合杂志*, 2019, 28(12): 1292–1295.
- [16] 杨宝,王婧,陈超,等.HIF-1 $\alpha$  对人结直肠癌细胞裸小鼠成瘤性的影响[J]. *中国癌症杂志*, 2021, 31(5): 377–382.
- [17] 中华人民共和国国家质量监督检验检疫总局.GB/T 35892–2018,实验动物福利伦理审查指南[S].北京:中国国家标准化管理委员会, 2018: 2.
- [18] 张强,邵明义,王琳琳,等.中医药治疗原发性肝癌研究述评[J]. *河南中医*, 2021, 41(3): 454–457.
- [19] 邵峰,曾普华,曾光,等.基于临床数据分析原发性肝癌的证治规律[J]. *湖南中医药大学学报*, 2019, 39(1): 40–44.
- [20] 熊炜,郭喜利,罗诗雨,等.近十年国内薯蓣丸的实验室研究进展[J]. *湖北中医杂志*, 2016, 38(11): 81–82.
- [21] 张琪,陆鹏,胡幼平.薯蓣丸的应用研究概况[J]. *湖南中医杂志*, 2016, 32(6): 208–209.
- [22] JING X M, YANG F M, SHAO C C, et al. Role of hypoxia in cancer therapy by regulating the tumor microenvironment[J]. *Molecular Cancer*, 2019, 18(1): 157.
- [23] CHOWDHURY A R, LONG A, FUCHS S Y, et al. Mitochondrial stress-induced p53 attenuates HIF-1 $\alpha$  activity by physical association and enhanced ubiquitination[J]. *Oncogene*, 2017, 36(3): 397–409.
- [24] YUEN V W, WONG C C. Hypoxia-inducible factors and innate immunity in liver cancer[J]. *The Journal of Clinical Investigation*, 2020, 130(10): 5052–5062.
- [25] SONG Z, LIU T F, CHEN J, et al. HIF-1 $\alpha$ -induced RIT1 promotes liver cancer growth and metastasis and its deficiency increases sensitivity to sorafenib[J]. *Cancer Letters*, 2019, 460: 96–107.
- [26] ZHENG S S, CHEN X H, YIN X, et al. Prognostic significance of HIF-1 $\alpha$  expression in hepatocellular carcinoma: a meta-analysis[J]. *PLoS One*, 2013, 8(6): e65753.
- [27] SABLINA A A, BUDANOV A V, ILYINSKAYA G V, et al. The antioxidant function of the p53 tumor suppressor[J]. *Nature Medicine*, 2005, 11(12): 1306–1313.
- [28] BUDANOV A V. The role of tumor suppressor p53 in the antioxidant defense and metabolism[J]. *Sub-cellular Biochemistry*, 2014, 85: 337–358.
- [29] COCETTA V, RAGAZZI E, MONTOPOLI M. Mitochondrial involvement in cisplatin resistance [J]. *International Journal of Molecular Sciences*, 2019, 20(14): E3384.
- [30] ZHANG X F, QI Z H, YIN H J, et al. Interaction between p53 and Ras signaling controls cisplatin resistance via HDAC4-and HIF-1 $\alpha$ -mediated regulation of apoptosis and autophagy[J]. *Theranostics*, 2019, 9(4): 1096–1114.

(本文编辑 苏维)